



ارزیابی قابلیت نشانگرهای رتروترانسپوزون در بررسی تنوع ژنتیکی برخی جمعیت‌های تربچه

مصطفی طباطبایی^۱, فاطمه حدادی^۲, حسین کمال‌الدینی^۲ و بهمن فاصلی نسب^۳

۱- دانش آموخته کارشناسی ارشد و استادیار، گروه زیست شناسی، دانشگاه علوم پایه، دانشگاه زابل، زابل، ایران
۲- هیات علمی، گروه پژوهش زراعت و اصلاح نباتات پژوهشکده کشاورزی دانشگاه زابل، زابل، ایران (نویسنده مسؤول: bafazeli@uoz.ac.ir)
تاریخ دریافت: ۹۶/۵/۲۱ تاریخ پذیرش: ۹۷/۱/۱۴

چکیده

تربچه از تیره شب بوبیان، دارای موادی از جمله سنوول، مالوین کلراید، ساپوژنین، سولفورافان و رافانین بوده و از خواص درمانی متعددی برخوردار است. در تحقیق خاضر تنوع ژنتیکی ۷ جمعیت تجاری/ابومی گیاه دارویی تربچه با استفاده از نشانگر رتروترانسپوزونی IRAP بررسی شد. آغازگر ترکیبی LTR2 & LTR15 با ۱ باند کمترین تعداد و آغازگر LTR23 با ۱۶ باند بیشترین تعداد را در میان باندهای تولیدی توسط هر آغازگرها برای ۶/۹۳ بود. بیشترین میزان شاخص چندشکلی (۰/۴۱) مربوط به آغازگر Sukkula و کمترین میزان شاخص چندشکلی (۰/۱۸) مربوط به آغازگر LTR2-LTR15 و با میانگین کل ۰/۲۸ مشاهده گردید. بیشترین میزان شاخص نشانگری (۰/۴) مربوط به آغازگر LTR3 و کمترین میزان شاخص نشانگری (۰/۱۸) مربوط به ترکیب آغازگری LTR15 & LTR2 مشاهده گردید. بیشترین میزان تعداد باند مؤثره، شاخص تنوع شانن و شاخص تنوع نی به ترتیب ۰/۱۸۲ و ۰/۶۴ و ۰/۴۵ متعلق به آغازگر Sukkula و کمترین میزان تعداد باند مؤثره، شاخص تنوع شانن و شاخص تنوع نی به ترتیب ۰/۲۷ و ۰/۱۵ متعلق به آغازگر rtdk بود. در بین جمعیت‌های تربچه بیشترین درصد مکان چندشکل، تعداد باند مؤثره، شاخص تنوع نی و شاخص تنوع شانن به ترتیب ۰/۸۵ و ۰/۱۷ و ۰/۲۶ متعلق به جمعیت Profit بود. تغییرات درون و بین جمعیت‌ها با استفاده از تجزیه واریانس مولکولی نشان داد که ۵۹ درصد کل تغییرات ژنتیکی به تنوع درون جمعیت‌ها اختصاص داشت. نتایج این تحقیق نشان داد که می‌توان از جمعیت Profit (چون دارای بیشترین درصد چندشکلی و تنوع شانن و نی و تعداد باند مؤثره بوده) به عنوان یکی از پایه‌های پدری یا مادری و یا دهنده ژن انتخاب در اصلاح تربچه‌های ایران استفاده کرد.

واژه‌های کلیدی: تنوع ژنتیکی، شباهت ژنتیکی، *Raphanus sativus*, IRAP

مالوین کلراید می‌باشد (۱۷) گروهی از ترب‌ها بهمنظور استفاده‌های خوارکی و تعدادی دیگر در صنعت دانه‌های روغنی کاربرد دارند و بر این اساس افزایش بهره‌وری گیاه تربچه با شناخت تنوع ژنتیکی از اهمیت سزاگی برخوردار است (۱۸). برگ‌های تربچه منع خوبی از پروژئین و ریشه آن دارای آهن زیاد بوده و از زمان‌های سیار قدیم برای درمان بسیاری از بیماری‌ها از جمله پاک کنندگی و نرم‌سازی بدن به خصوص در مخاطه‌های بینی، مجرای معده، کیسه‌ی صفراء، کبد، جهت مشکلات ادراری و بواسیر، معالجه روماتیسم، ترشح زیاد شیر مفید بوده است (۰/۱۵، ۰/۲۰، ۰/۵۷). خواص درمانی تربچه به خاطر حضور برخی مواد مثل متین، ساپوژنین، لون، آنزیم‌ها (فسفاتاز، کاتالاز و ترکیبات هیستامین‌دار)، آمینو اسیدهای مفید (لیزین و متیونین) و ترکیبات پلی‌فلویلک و همین طور مواد ضد میکروبی مثل سولفورافین و رافانین می‌باشد (۰/۱۵، ۰/۵۷). پیشرفت در بهنژادی تربچه مانند هر گونه گیاهی دیگر، سه پیش نیاز اساسی دارد: نخست ایجاد یا معرفی منابع جدید ژنتیکی؛ دوم، نوترکیبی و تولید ژنتیپ‌های جدید؛ و سوم، شناسایی و گزینش فنوتیپ‌های مطلوب با غربال هدفمند منابع ژنتیکی برای ژن‌های مفید (تعیین مشخصه‌سازی ژرم‌پلاسم) (۲۲): روش‌های مختلفی برای برآورد تنوع ژنتیکی و کلکسیون‌های ژرم‌پلاسم در گونه‌های گیاهی وجود دارد که از آن جمله می‌توان استفاده از صفات فنوتیپی و نشانگرهای مولکولی اشاره نمود. نشانگرهای مولکولی شامل ایزوژن‌ها، پروژئین‌های ذخیره‌ای و

مقدمه

اطلاع از تنوع ژنتیکی درون و بین جمعیت‌ها و روابط بین ژنتیپ‌ها، برای انتخاب والدین، جهت انجام تلاقي‌های کارا و اتخاذ روش اصلاحی مناسب، ضروری است که نشانگرهای مولکولی ابزارهای توانمندی برای نیل به این مقصود می‌باشد (۲۷). پیشرفت‌های اخیر در زمینه استفاده از نشانگرهای مولکولی و ابداع و توسعه آنها، بهنژادگران را به استفاده از این نشانگرهای به عنوان ابزاری قادرمند برای گروه‌بندی ژنتیپ‌ها و انتخاب والدین متنوع از این گروه‌ها واداشته است. یکی از مهم‌ترین موارد کاربردی این نشانگرهای در اصلاح نباتات ارزیابی پتانسیل ذخایر تواریشی است که می‌تواند نمونه‌های با ارزش را در اختیار بهنژادگران قرار دهد (۱). از آنجا که تنوع، ماده‌ی خام اصلاح نباتات می‌باشد و تربچه نیز دارای تنوع وسیع ژنتیکی و دامنه سازگاری بالایی می‌باشد، از این رو اتخاذ روش مناسب در جهت اصلاح و معرفی ارقام با کیفیت بالا نیازمند شناخت صحیح از تنوع و ماهیت آن می‌باشد. تربچه از تیره شب بوبیان، دو لپه (۰/۱۸)، دیلولید *Raphanus raphanistrum* L. بوده که در قرن ۱۶ میلادی در انگلستان معرفی و در قرن ۱۷ میلادی در ماساچوست (آمریکا) کشت گردید (۱۵). پنج گونه اصلی آن ترب قرمز (تربچه)، ترب سفید، ترب سیاه (زمستانه)، ترب کوهی و ترب سفید ماموت کالیفرنیا می‌باشند (۱۷). طعم تند تربچه مربوط به ماده‌ای به نام سنوول و رنگ قرمز بنفش آن در اثر وجود ماده‌ای به نام

استفاده شده است. با توجه به اینکه تاکنون تحقیقات زیادی در رابطه با تنوع ژنتیکی تربچه گزارش نشده و از طرفی نیز هر نشانگر تنها قسمتی از سطح ژنوم را پوشش می‌دهد، لذا جهت دستیابی به اطلاعات دقیق و مشخص در مورد روابط ژنتیکی بین ژنوتیپ‌های تربچه، باید از نشانگرهای مختلف جهت پوشش مناسب سطح ژنوم استفاده گردد، در نتیجه با توجه به اهمیت مطالعه ژرمپلاسم تربچه به سبب سازگاری به شرایط مختلف محیطی و دارا بودن ژن‌های مفید، در این تحقیق با استفاده از نشانگر IRAP پیامیش تازه‌ای از ژنوم این گیاه مورد بررسی قرار گرفت ضمن اینکه توسعه این نشانگرها در تحقیقات بعدی روی تربچه همچون مکان‌یابی و تجزیه ارتباطی می‌تواند با استفاده از نتایج این تحقیق تسهیل و تسریع گردد.

مواد و روش‌ها

مواد گیاهی

تعداد ۷ رقم و جمیعت تجاری گیاه تربچه (پنج رقم استاندارد آزاد گرده افسان)^۷ و دو جمیعت بومی (جدول ۱) تهیی و با استفاده از نشانگر IRAP در آزمایشگاه بیوتکنولوژی و مهندسی ژنتیک پژوهشکده زیست‌فناوری کشاورزی دانشگاه زابل در سال ۱۳۹۶ مورد ارزیابی قرار گرفتند.

استخراج و تکثیر DNA

استخراج DNA‌ی ژنومی بر مبنای روش SDS (۱۹) به صورت تک بوته و از هر جمیعت سه بوته انجام شد. با توجه به اینکه تا کنون هیچ نوع گزارشی در مورد استفاده از IRAP در تربچه و حتی هم خانواده تربچه یافت نشد لذا در این تحقیق سعی شد از آغازگرهایی که بهترین تیجه و بیشترین گزارش در مورد آن‌ها در مقالات معتبر ذکر شده بود (۳۱، ۳۲، ۴۲، ۴۳، ۱۱۶۲) به صورت تکی و ترکیبی برای این تحقیق انتخاب شوند (جدول ۲). واکنش زنجیره‌ای پلی‌مراز بر اساس دستورالعمل کالتلدر و همکاران (۳۰) با اندکی تغییر به بقدار زیر انجام شد: یک میکرولیتر آغازگر (با غلظت نهایی ۰.۰۲۵ میکرومولار)، ۷ میکرو لیتر محلول آماده MgCl₂، ۰.۱۰X NTP، ۰.۱۰X میکرو لیتر DNA (با غلظت ۱۰ نانوگرم در میکرو لیتر) و در نهایت حجم نهایی را با آب دو بار تقطیر به ۱۵ میکرو لیتر می‌رسانیم. سیکل حرارتی بدین صورت که پنج دقیقه و اسربشته‌سازی اولیه در ۹۴ درجه سانتی‌گراد، یک دقیقه، اتصال آغازگر به DNA تکرشته‌ای در دمای مخصوص هر آغازگر (۶/۶ - ۶/۸)؛ یک دقیقه و بسط آغازگر در ۷۲ درجه سانتی‌گراد؛ دو دقیقه) و بسط نهایی در درجه سانتی‌گراد به مدت ۱۰ دقیقه انجام شد. جهت الکتروفورز از ژل آگاروز ۱/۵ درصد و سپس جهت رنگ‌آمیزی ژل از ژل رد^۸ و دستگاه ترانیسلومیناتور جهت نمایان شدن بانده استفاده شد.

نشانگرهای مبتنی بر DNA (هسته‌ای، میتوکندری و کلروپلاستی) بوده که ابزار ارزشمندی را برای مطالعات شجره‌نامه، انگشت‌نگاری DNA و همچنین توصیف و ارزیابی تنوع ژنتیکی درون گونه‌ها فراهم کرده‌اند (۶۶) و نشان داده شده است که نشانگرهای مختلف، کلasse‌های متفاوتی از DNA تنوع را نشان می‌دهند (۲۳). تفاوت‌هایی که در سطح DNA معروف‌اند که در طبقه‌بندی موجودات، تعیین تنوع ژنتیکی، تهیی نششه‌های ژنتیکی و غیره کاربردهای بسیار وسیعی پیدا کرده‌اند (۲۶). در بین نشانگرهای DNA، عناصر جابجا شونده^۹ فراوان‌ترین و گستردترین در ژنوم یوکاریوت‌ها هستند که بر خلاف ترانسپورون‌ها از طریق تولید cDNA جدید، کپی‌های قبلي در جای خود پایدار باقی می‌مانند. عناصر جابجا شونده دارای یک ناحیه حفاظت‌شده داخلی هستند که فراورده‌های لازم برای انتقال آنها را فراهم می‌سازد. ناحیه داخلی ممکن است بواسیله توالی‌های طولانی تکاری (LTR) احاطه و بر این اساس به دو گروه دارای LTR و فاقد LTR (شامل LINE‌ها و SINE‌ها) که نوع LTR دار بسیار فراوان‌تر از بدون LTR هستند تقسیم می‌شوند (۱۶، ۳۱). عناصر جابجا شونده تقریباً در تمام نواحی کروموزوم‌های گیاهی و دارای چندشکلی پایدار و بسیار زیاد در بین و داخل گونه‌های گیاهی بوده که استفاده از آن‌ها را سیار ایده‌آل می‌سازد (۵۵).

ژنوم گیاهی در مقایسه با سایر ژنوم‌های یوکاریوتی شامل دامنه‌ی متفاوت و وسیعی از عناصر جابجا شونده‌ی مختلف هستند در گیاهانی با ژنوم‌های بزرگ مانند گندم، عناصر جابجا شونده آن‌ها ۴۰-۶۰ درصد از کل ژنوم را شامل می‌شوند. عناصر جابجا شونده دارای نواحی محفوظ، مشخص و طولانی بوده که می‌توانند برای همسانه‌سازی نشانگرهای ویژه و توالی‌های مجاور آن‌ها و طراحی آغازگر استفاده شوند (۴۰). نقطه ضعیف عمدی آغازگرهای مبتنی بر عناصر جابجا شونده این است که برای طراحی آغازگر نیاز به توالی عناصر جابجا شونده است (۴۱). نشانگرهای مختلفی بر اساس مناطق چندشکلی عناصر جابجا شونده مبتنی بر PCR بوده و به طور موقتیست آمیزی در تهیی نفشه ژنوم و مطالعه‌ی ثبات ژنومی گونه‌های آلوپلی‌پلوبیدی استفاده شده است (۴۵). روش IRAP در نقشه برداری ژنی در گندم (۴)، خربزه (۳)، جو (۳۵)، در مطالعات تکاملی ژنوم جو (۶/۳) و در انواع برنامه‌های کاربردی شامل اندازه‌گیری تنوع ژنتیکی و ساختار جمیعت، اصلاح کروماتین و برنامه‌ریزی مجدد اپی‌ژنتیک، روابط همسانی و کلادیستی (شاخه‌بندی)^{۱۰} تعیین اشتراق اساسی، انتخاب براساس نشانگر، در گیاه جو (۸)، یونجه (۲)، مرکبات (۱۱)، سیب (۷)، برنج (۱۴)، کتان (۵۸)، آفتابگردان (۶۴) و گیاهان دارویی مانند چشم قرقاول^{۱۱}، گل صدتومانی^{۱۲} و اسفزه (۱۲)

جدول ۱- مشخصات جمعیت‌های مورد استفاده در تحقیق

Table 1. Characteristic of population were used in this research

| Seed quality | Origin | Name | نام علمی نونه Sample Latin Name | کد Code |
|--------------------|----------------|------------------|------------------------------------|------------|
| OP آزاد گرده افغان | Denmark | Vikima | <i>Raphanus sativus</i> | A |
| OP آزاد گرده افغان | USA | Royal | <i>Raphanus sativus</i> | B |
| OP آزاد گرده افغان | Holland | Pop friend seed | <i>Raphanus sativus</i> | C |
| OP آزاد گرده افغان | Italy | Profit | <i>Raphanus sativus</i> | D |
| Native بومی | Drageh Isfahan | درجه اصفهان | <i>Raphanus sativus</i> | E |
| OP آزاد گرده افغان | Holland | French breakfast | <i>Raphanus sativus</i> | F |
| Native بومی | Isfahan | اصفهان | <i>Raphanus sativus</i> | G |

جدول ۲- نام، توالی آغازگرهای IRAP مورد استفاده

Table 2. Name, Motif of IRAP Primer

| نام آغازگر Primer name | توالی Sequence (5' → 3') | دما اتصال Tm (°C) | منبع |
|---------------------------|-----------------------------|----------------------|------|
| LTR1 | CGCATCCCATCTAGCACGAGG | 50 | (62) |
| LTR2 | CGTCGCTGCCAGAGTCAAACA | 50 | (62) |
| LTR3 | GTCACGGCTCAAAGATACTA | 50 | (11) |
| LTR15 | GTAAAATCTGATTCTCTTGACA | 50 | (65) |
| LTR20 | ATTTTTTCAGTAGTAGCTATCA | 51 | (65) |
| LTR23 | CCGACCTTCATTCTGGCATA | 49 | (65) |
| Nikita | CGCATTTGTCAGGCTAAACC | 56 | (61) |
| Sukkula | GATAGGGTCCGATCTGGGCGTGC | 64.3 | (61) |
| rtdk14-r1 | CATGGGTTCCATCAGTTCC | 58.4 | (65) |
| 3-LTR1F | TGTTTCCCATGGACGTTCCCCAAC | 68.6 | (61) |

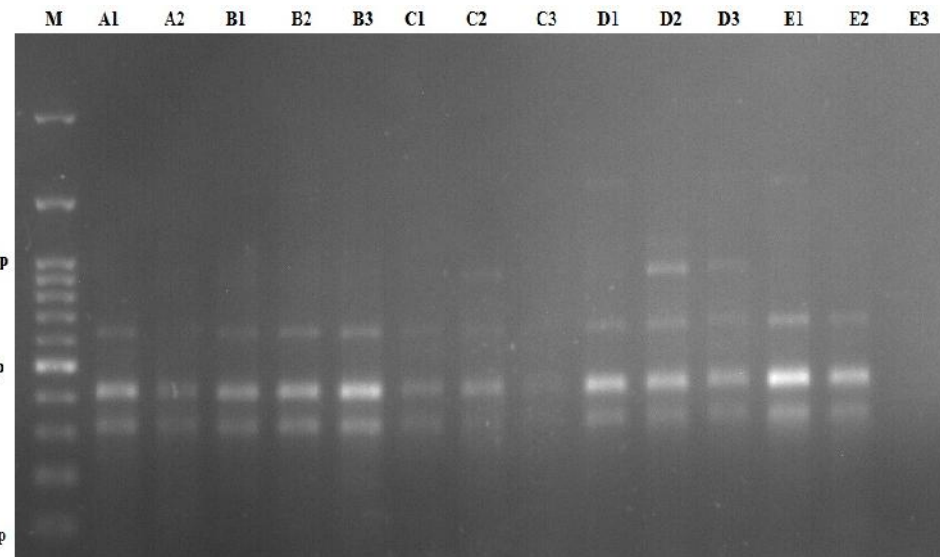
آغازگر تکثیر و چند شکل بودند (شکل ۱). در مجموع ۱۱۱ باند شناسایی شد که آغازگر ترکیبی LTR2 & LTR15 با ۱ باند کمترین تعداد و آغازگر LTR23 با ۱۶ باند بیشترین تعداد را در میان باندهای تولیدی توسط هر آغازگر داشتند. میانگین تعداد باند در کل جایگاهها برابر ۶/۹۳ بود (جدول ۳). برای بررسی قدرت تفکیک آغازگرهای در نمایش چندشکلی در یک جمعیت، شاخص چندشکلی (DI) و شاخص نشانگری (MI) هر آغازگر محاسبه شد. بیشترین میزان شاخص چندشکلی با میزان ۰/۴۱ مربوط به آغازگر Sukkula و کمترین میزان شاخص چندشکلی با میزان ۰/۱۸ مربوط به آغازگر rtdk14-r1 (جدول ۳). میانگین کل میزان ۰/۲۸ مربوط به آغازگر LTR2-LTR15 و با میانگین ۰/۲۸ مربوط به آغازگر LTR2 (جدول ۳). بیشترین میزان شاخص نشانگری با میزان ۰/۱ مربوط به آغازگر LTR3 و کمترین میزان شاخص نشانگری با میزان ۰/۱۸ مربوط به آغازگر LTR15-LTR2 و میانگین ۰/۹ مشاهده گردید (جدول ۳). برای تجزیه و تحلیل تنوع ژنتیکی درون و بین جمعیت، شاخص تنوع ژنی (h)، شاخص اطلاعات شانز (I) و تعداد باندهای مؤثر (Ne) آغازگرها و همچنین جمعیت‌های تربچه مورد مطالعه محاسبه شد (جدول ۳). در بین آغازگرها بیشترین میزان تعداد باند مؤثره، شاخص تنوع شانز و شاخص تنوع نی به ترتیب ۰/۸۲ و ۰/۴۵ و ۰/۴۵ متعلق به آغازگر Sukkula و کمترین میزان تعداد باند مؤثره، شاخص تنوع شانز و شاخص تنوع نی به ترتیب ۰/۸۴ و ۰/۰۵ و ۰/۰۵ متعلق به آغازگر rtdk14-r1 (جدول ۳). در بین جمعیت‌های تربچه بیشترین درصد مکان چندشکل، تعداد باند مؤثره، شاخص تنوع نی و شاخص تنوع شانز به ترتیب ۰/۸۵، ۰/۳۰۵ و ۰/۰۷۶ متعلق به جمعیت Profit و کمترین درصد مکان چندشکل، تعداد باند مؤثره، شاخص تنوع نی و شاخص تنوع شانز به ترتیب ۰/۰۷۷، ۰/۱۷ و ۰/۱۱ متعلق به آغازگر ۱۹/۸۲ و ۱۰/۰۶ و ۱۰/۰۷ متعلق به جمعیت اصفهان بود (جدول ۴).

نتایج و بحث
تجزیه و تحلیل داده‌ها
در این تحقیق امتیازبندی الگوهای باندی بهصورت یک (وجود) و صفر (عدم وجود) برای هر باند انجام شد. صفاتی همچون تعداد باندهای تکثیر شده، تعداد باندهای چند شکل، تعداد باند مؤثر^۳، درصد چندشکلی^۴، شاخص چندشکلی^۵، شاخص شانز^۶، شاخص نی^۷ و ارتباط بین تعداد باند تکثیر شده توسط هر آغازگر IRAP با شاخص چندشکلی اندازه‌گیری شد. شاخص چندشکلی که میزان آن بین صفر تا یک است (۵) با استفاده از فرمول

$$DI = 1 - \sum_{j=1}^n p_j^2$$

(Pj فراوانی باند jام در تمام جمعیت‌های مورد ارزیابی) محاسبه شد (۱۳). ضمناً شاخص نشانگری^۸ (۳۳)، شاخص تنوع شانز (۳۴)، شاخص تنوع نی (۴۳) و تعداد باند مؤثر با استفاده از نرمافزار ۱.32 POPGENE، تقيیرات درون و بین جمعیت‌ها با استفاده از تجزیه واریانس مولکولی با نرمافزار GeneAlex 6.5، تجزیه خوشای بر اساس روش UPGMA، ماتریس تشابه بر اساس روش نی و لی (۴۴) و جاکارد (۲۸)، با نرمافزار v.2.1 NTSYS-pc (۵۴) صورت گرفت. همیستگی بین ماتریس تشابه نی و لی و جاکارد با استفاده از آزمون مانتل و همچنین تجزیه به مؤلفه‌های اصلی نیز انجام شد. شاخص مارکری نشان‌دهنده کارایی نشانگر است و با استفاده از فرمول MI=EMR * DI(or PIC) که در آن EMR نسبت چندگانه مؤثر بوده و بیانگر تعداد جایگاه‌های ژنی چند شکل موجود در یک ژنوم است به دست آمد. EMR با استفاده از فرمول EMR=N_a* نیز نسبت مکان‌های چند شکل به تعداد کل مکان‌ها است محاسبه شد (۳۳).

چندشکلی و شاخص‌های کمی
از ۳۲ آغازگر تکی و ترکیبی مورد استفاده در این تحقیق، ۱۶



شکل ۱- الگوی نواری تکثیرشده در نشانگر IRAP با استفاده از آغازگر LTR1
Figure 1. The band pattern reproduced in the IRAP marker using the LTR1 primer

جدول ۳- تعداد باند تکثیرشده (AB)، تعداد باند چندشکلی (PB)، درصد چندشکلی (PP)، شاخص چندشکلی (DI)، شاخص نشانگری (MI)، تعداد باند مؤثر (Ne)، شاخص شانن (I) و شاخص نی (H) تکثیر شده توسط آغازگرهای IRAP

Table 3. Amplified bands (AB), Polymorphic bands (PB), percent of polymorph (PP), Diversity Index (DI), Marker Index (MI), effective band number (Ne), Nei diversity index (H) and shanon diversity index (I) were produced by IRAP primers

| I | H | Ne | MI | DI | PP | PB | AB | Primer Name |
|-------|-------|-------|-------|-------|-------|----|----|--------------|
| 0.535 | 0.35 | 1.54 | 1.215 | 0.405 | 60 | 3 | 5 | 3primLTR21 |
| 0.437 | 0.287 | 1.469 | 0.735 | 0.245 | 75 | 3 | 4 | LTR1 & LTR2 |
| 0.479 | 0.314 | 1.535 | 1.5 | 0.3 | 83.33 | 5 | 6 | LTR1 & LTR3 |
| 0.308 | 0.176 | 1.227 | 0.594 | 0.198 | 100 | 3 | 3 | LTR1 & LTR15 |
| 0.461 | 0.286 | 1.401 | 0.72 | 0.18 | 100 | 4 | 4 | LTR1 |
| 0.336 | 0.198 | 1.285 | 3.528 | 0.252 | 93.33 | 14 | 15 | LTR2 & LTR3 |
| 0.382 | 0.223 | 1.286 | 0.18 | 0.18 | 100 | 1 | 1 | LTR2 & LTR15 |
| 0.359 | 0.217 | 1.313 | 2.73 | 0.21 | 86.67 | 13 | 15 | LTR2 |
| 0.377 | 0.237 | 1.38 | 1.212 | 0.303 | 80 | 4 | 5 | LTR3 & LTR15 |
| 0.436 | 0.276 | 1.436 | 4.121 | 0.317 | 86.67 | 13 | 15 | LTR3 |
| 0.322 | 0.195 | 1.312 | 1.024 | 0.256 | 80 | 4 | 5 | LTR15 |
| 0.459 | 0.294 | 1.464 | 2.625 | 0.375 | 87.5 | 7 | 8 | LTR20 |
| 0.305 | 0.179 | 1.259 | 3.984 | 0.249 | 94.12 | 3 | 17 | LTR23 |
| 0.491 | 0.315 | 1.479 | 2.298 | 0.383 | 85.71 | 3 | 7 | Nikkita |
| 0.276 | 0.15 | 1.184 | 2.88 | 0.24 | 80 | 5 | 15 | rtdk |
| 0.641 | 0.45 | 1.827 | 1.239 | 0.413 | 60 | 3 | 5 | Sukkula |

جدول ۴- تعداد باندهای چندشکل (PB)، درصد چند شکلی (PP)، شاخص تنوع شانن (I) و نی (H) بدست آمده از نشانگر IRAP در جمیعت‌های تربچه

Table 4. Polymorphic bands (PB), percent of polymorph (PP), (effective band number) Ne, I (shanon diversity index), H (Nei diversity index) and MI were produced by IRAP marker in all population of Radish

| I | H | He | Ne | PP | PB | Population Name |
|-------|--------|-------|-------|-------|----|------------------|
| 0.153 | 0.1045 | 0.104 | 1.178 | 25.23 | 28 | Vikima |
| 0.212 | 0.1385 | 0.138 | 1.221 | 40.54 | 45 | Royal |
| 0.144 | 0.0939 | 0.094 | 1.148 | 27.93 | 31 | Pop friend seed |
| 0.264 | 0.1777 | 0.178 | 1.305 | 46.85 | 52 | Profit |
| 0.193 | 0.129 | 0.129 | 1.217 | 35.14 | 39 | Idfahan-dorche |
| 0.142 | 0.1262 | 0.097 | 1.170 | 24.32 | 27 | French breakfast |
| 0.106 | 0.0788 | 0.070 | 1.113 | 19.82 | 22 | Isfahan |

تربچه Profit و French breakfast و کمترین میزان فاصله (۰/۱۱) مربوط به ژنوتیپ‌های در چه اصفهان و Profit با میانگین ۰/۲۴۹ مشاهده گردید.

نتایج حاصل از تجزیه واریانس مولکولی که در آن تغییرات مشاهده شده درون و بین اجزا جمیعت با استفاده از فاصله‌های ژنتیکی دسته‌بندی می‌شود محاسبه و بر اساس

فاصله ژنتیکی بهمنظور شناسایی و درک بهتر شباهت‌ها و تفاوت‌ها در میان جمیعت‌های موردبررسی، ماتریس تشابه در بین ۷ ژنوتیپ تربچه مورداستفاده با توجه به کل ۱۱۱ باند تولید شده در نشانگر IRAP، بر اساس روش نی (۴۳) محاسبه گردید. بیشترین میزان فاصله ژنتیکی (۰/۴۵۹) مربوط به جمیعت‌های

نتایج این تحقیق ۵۹ درصد تغییرات ژنتیکی یافت شده درون جمعیت‌ها و ۴۱ درصد در بین جمعیت‌ها بود (جدول ۵).

جدول ۵- تجزیه خوشه‌ای جمعیت‌های تربچه با استفاده از نشانگر IRAP
Table 5. Analysis of the variance of radish populations using the IRAP marker

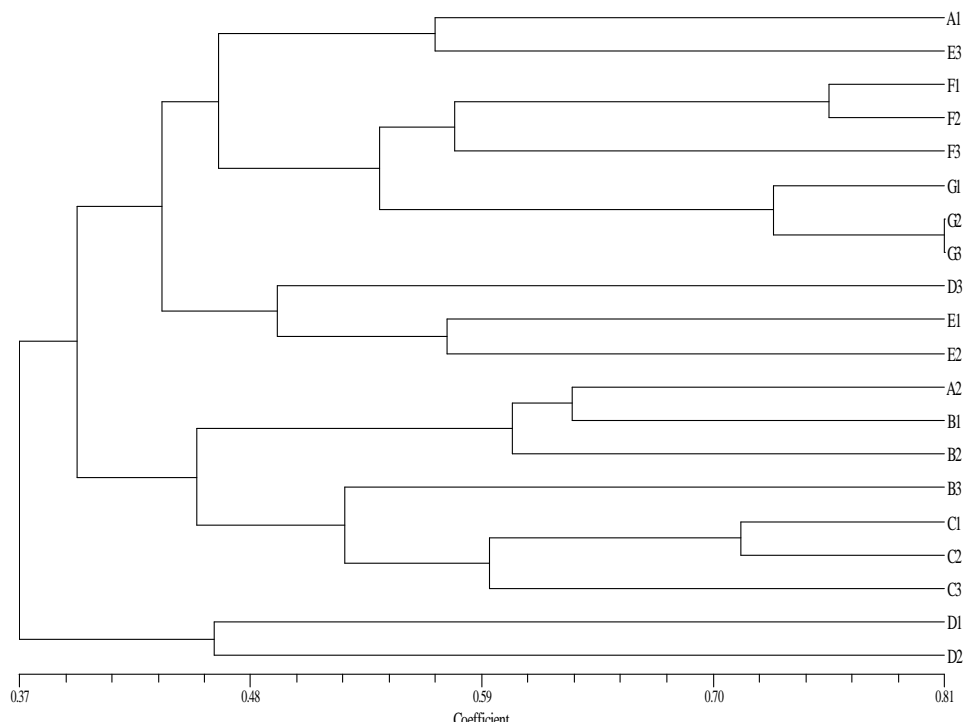
| منابع تغییر | درجه آزادی | مجموع مربیات | میانگین مربیات | واریانس |
|---------------|------------|--------------|----------------|---------|
| بین جمعیت‌ها | 6 | 218.500 | 36.417 | 41 |
| درون جمعیت‌ها | 13 | 158.000 | 12.154 | 59 |
| کل | 19 | 376.500 | | 100 |

**: تفاوت معنی‌دار در سطح یک درصد ($P<0.01$)

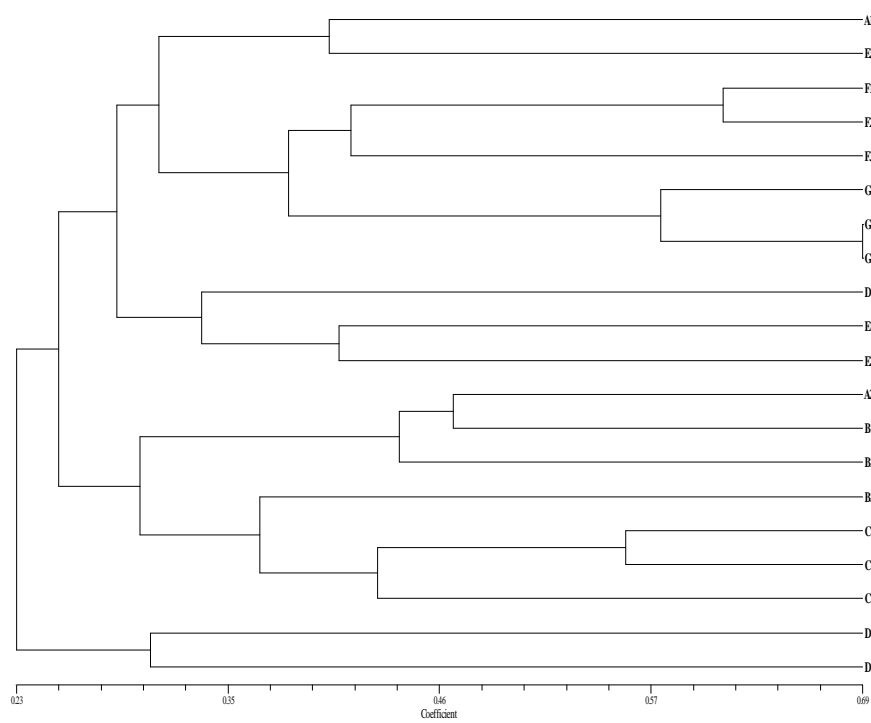
ماتریس تشابه نی (۴۳) و روش NJ با نرم‌افزار Mega 6.06 انجام شد و مشخص گردید (شکل ۴) که جمعیت‌ها بر اساس موقعیت جغرافیایی کشور تولیدکننده تفکیک نشدند که می‌تواند به دلیل تبادل ژنوم در این کشورها جهت تولید بذر استاندارد باشد اما آنچه که مشهود بود قرار گرفتن جمعیت‌های تربچه بومی استان اصفهان در خوشه‌های نزدیک به هم که نشان دهنده خصوصیات ژنتیکی و خویشاوندی این ژنوتیپ‌ها می‌باشد. ضمناً جمعیت تربچه در چه اصفهان از لحاظ توزع نسبت به بقیه جمعیت‌ها در سطح خوبی بود (جدول ۴).

تجزیه خوشه‌ای بر اساس ماتریس تشابه نی و لی و جاکارد

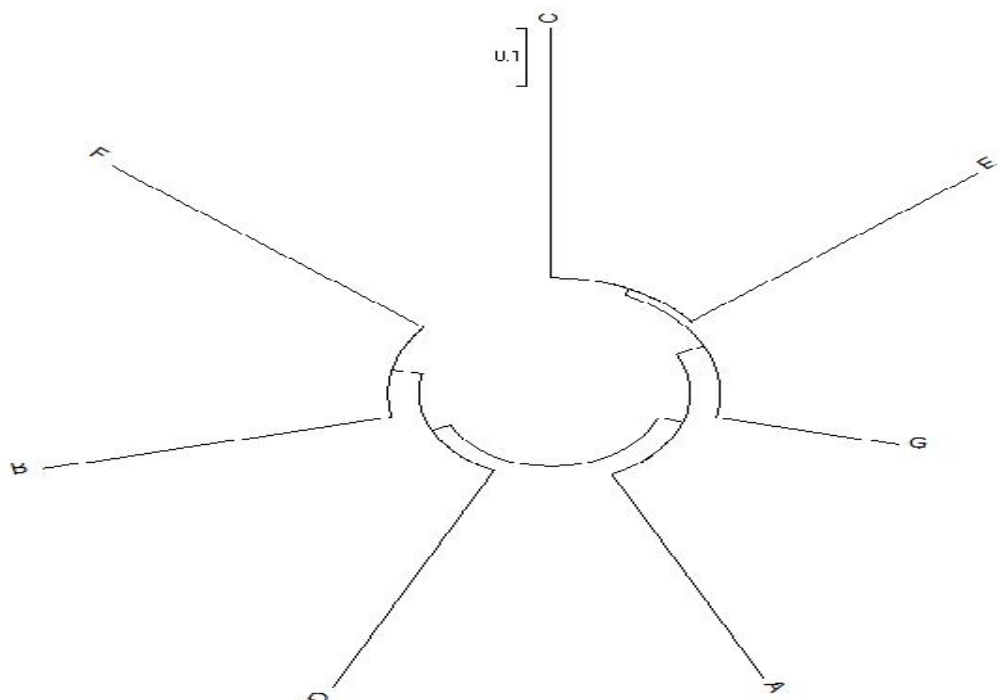
تجزیه خوشه‌ای جمعیت‌های مختلف تربچه بر اساس نشانگر IRAP، با استفاده از روش شباهت ژنتیکی نی و لی و جاکارد و بر اساس روش UPGMA، با استفاده از نرم‌افزار NTSYSpc (۵۴) انجام شد که در هر دو روش نتایج یکسان بود. به جز جمعیت‌های Profit، Vikima و در چه اصفهان بقیه هر کدام در گروهی جداگانه قرار گرفتند (شکل ۲؛ شکل ۳). در هر دو روش جمعیت بومی اصفهان کم تر و جمعیت Profit متنوع‌ترین بوده‌اند که مطابق نتایج جدول ۴ می‌باشد. ضمناً تجزیه خوشه‌ای کلی جمعیت‌ها بر اساس



شکل ۲- تجزیه خوشه‌ای جمعیت‌های تربچه بر اساس نشانگر IRAP، ماتریس تشابه نی و لی و روش UPGMA
Figure 2. Cluster analysis of all population were conducted by IRAP marker, Nei and Li similarity Matrix and UPGMA methods



شکل ۳- تجزیه خوشه‌ای جمیعت‌های تریچه بر اساس نشانگر IRAP، ماتریس تشابه جاکارد و روش UPGMA
Figure 3. Cluster analysis of all population were conducted by IRAP marker, Jaccard Similarity Matrix and UPGMA methods



شکل ۴- تجزیه خوشه‌ای جمیعت‌های تریچه بر اساس نشانگر IRAP، ماتریس تشابه جاکارد و روش NJ
Figure 4. Cluster analysis of all population were conducted by IRAP marker, Jaccard Similarity Matrix and NJ Methods

درصد تا ۱۰۰ درصد، محتوای اطلاعات چندشکلی (PIC) از ۷۵۵/۰ تا ۹۲/۰ با میانگین ۸۶/۰ و میانگین شاخص نشانگری را ۱۹/۰/۷ به دست آوردن. پتروبیکووا و همکاران (۴۸) جهت ارزیابی چاودار با استفاده از نشانگر RAPD، تعداد باند را از ۷ تا ۱۲ با میانگین ۸/۶، شاخص چندشکلی (DI) از ۸۴۲/۰ تا ۹۰/۷ با میانگین ۸۶/۰ و محتوای چندشکلی (PIC) از ۸۳۸/۰ تا ۹۰/۰ با میانگین ۸۶/۳ به دست آوردن. عبدالهی مندولکانی و همکاران (۴۹) جهت ارزیابی گندم وحشی امر با استفاده از IRAP های جداسازی شده از نشانگرهای SCAR پیوسته به ژن های مقاومت به زنگ زرد به این نتیجه رسیدند که نشانگر IRAP دارای قابلیت بسیار بالایی در شناسایی دقیق موقعیت ژن ها و نشانگرهای پیوسته به ژن های مقاومت به بیماری ها می باشد. بر اساس آنچه که ارایه شد شاخص چندشکلی نمی تواند عدد ثابتی داشته باشد و بستگی به عواملی مثل تعداد باند تولیدی توسط هر جایگاه، تعداد ژنتوتیپ و حتی تعداد آغازگر دارد (۵۰). به طوری که رو در و همکاران (۵۱) میانگین محتوای چندشکلی را در تحقیقی با ۱۸ ژنتوتیپ و ۱۵ آغازگر در گندم را ۸۶/۰ و همین میزان را زمانی که تعداد ژنتوتیپ ها ۶ عدد بود ۵۴/۰ به دست آوردن.

ضریب تشابه

بر اساس نتایج تجزیه خوشای، ارتباط مؤثری در رابطه با موقعيت جغرافیایی در بین جمیت ها مشاهده نشد اما به جز جمیت های Vikima، Profit و درجه اصفهان، بقیه جمیت ها در گروه های محذا و کنار هم قرار گرفته اند. لازم به ذکر است جمیت های بومی ایران در تجزیه خوشای در یک گروه قرار نگرفته که نشان دهنده تنوع بین آنها بوده اما نزدیک به هم قرار گرفته و نشان دهنده خصوصیات ترانسپوزونی نزدیک بین آنها است. از طرفی نتایج مبنی بر عدم تطبیق منشأ جغرافیایی با تنوع ژنتیکی در پژوهش عبدالهی مندولکانی و برسونی (۳) در ارزیابی خربزه با استفاده از REMAP، بهاری و همکاران (۴۰)، در ارزیابی جمیت های شوید با استفاده از نشانگر RPAD، سورش و همکاران (۴۰)، در ارزیابی تنوع ژنتیکی جمیت های شوید با استفاده از نشانگر RAPD، سلوکی و همکاران (۵۱) در ارزیابی تنوع ژنتیکی برخی جمیت های شوید با استفاده از نشانگر AFLP مشاهده شده که با تحقیق حاضر مشابه است. چندین عامل اکولوژیکی سبب انبساطه شدن تفاوت ژنتیکی بین دو جمیت می شود. مکان های جغرافیایی مختلف از نظر برخی ویژگی های اکولوژیکی از جمله عرض و طول جغرافیی، دما و رطوبت متفاوت اند. این عوامل فاکتورهای اکو جغرافیایی خوانده می شوند و سبب گوناگونی ژنتیک در بین دو جمیت می شوند. با توجه به نتایج، استفاده از جمیت های مناطق جغرافیایی بیشتر برای تأیید الگوی موجود لازم است (۳، ۴۷).

در گونه های دگرگشن به علت ایجاد ترکیبات ژنی جدید، جریان ژنی بالا و فشار شرایط محیطی حاکم بر منطقه، منجر به تثبیت یک سری ژن های خاص شده لذا فاصله ژنتیکی درون جمیت ها زیاد بوده و در عوض تنوع بین جمیت نسبتاً کم است (۵۱) اما در گونه های خودگشن به دلیل وجود باندهای متفاوت درون هر جمیت، تغییرات بیشتری درون

آزمون مانتل

بر اساس آزمون مانتل بهترین ضریب الگوریتم جهت تجزیه خوشای جمیت های مختلف ترجیح ضریب تشابه نی و لی ($\alpha = 0/۹۶$) و سپس جاکارد ($\beta = 0/۹۳$) و بهترین الگوریتم، الگوریتم UPGMA بودند که بر همین اساس نیز تجزیه خوشای طبق هر دو روش انجام شد. ضمناً همبستگی بین ماتریس های حاصل از تجزیه و تحلیل های داده ها بر اساس ماتریس تشابه نی و لی و جاکارد محاسبه و مشخص شد که همبستگی بسیار بالایی بین ماتریس های تشابه حاصل از روش نی و لی و جاکارد وجود دارد ($\alpha = 0/۹۲$) که نشان می دهد دو ماتریس نتایج یکسانی را ارائه داده اند.

چندشکلی و شاخص های کمی

در گزارشی عبدالهی مندولکانی و همکاران (۲) جهت ارزیابی یونجه از ۱۰ آغازگر تکی و ترکیبی IRAP استفاده کردند که فقط ۸ آغازگر چندشکلی مناسب نشان داده شد و در مجموع ۱۰۱ باند تکثیر شدند که فقط ۶۶ باند (درصد ۶۵) چندشکل بودند و تعداد باند را از ۵ تا ۱۲ با میانگین ۶/۶ گزارش دادند. اسدخانی معگانی (۸) جهت ارزیابی ۱۱ جمیت جو از ۹ آغازگر IRAP استفاده کرد که در مجموع ۲۴ باند چندشکل، تعداد باند چند شکل را از ۱۰ تا ۵۷ با میانگین ۲۷/۱۱ بدست آوردن ضممنا از ۱۰۰ درصد کل واریانس مولکولی (تنوع مشاهده شده ناشی از تنوع بین و درون جمیت ها)، ۵۸ درصد متعلق به تغییرات درون جمیت های جو گزارش دادند. بیوین و همکاران (۴۵) جهت ارزیابی زرآلو با استفاده از نشانگر REMAP، تعداد باند را از ۱۷ تا ۴۶ با میانگین ۲۴/۴، شاخص تنوع نی را از ۱/۸۲ تا ۱/۳۴ با میانگین ۱/۴۸، شاخص شان را از ۰/۳۸۹ تا ۰/۶۳۶ با میانگین ۰/۳۹۱، نسری و همکاران (۴۲) جهت ارزیابی گندم با استفاده از نشانگر REMAP، تعداد باند را از ۵ تا ۱۵ با میانگین ۱۲، تعداد باند موثر ۱/۳۲ تا ۱/۸۰ با میانگین ۱/۶، شاخص شان را از ۰/۶۲ تا ۰/۵۱ با میانگین ۰/۰، در گندم، گوا و همکاران (۲۵) شاخص نشانگری را در *Hemarthria compressa* از ۱/۷۸-۷/۳۲ با میانگین ۴/۰، میردریکوند و همکاران (۳۶)، شاخص چندشکلی را گندم دوروم و نان از ۰/۱۳-۰/۷۷ در گندم از ۰/۵۶۳-۰/۹۰۲ و میانگین ۰/۶۸۸، دریکوند و همکاران (۲۱) چندشکلی را در گندم از ۰/۱۲۰-۰/۸۰ و میانگین ۰/۵۹ به دست آوردن. جهت ارزیابی برنج با استفاده از نشانگر RAPPD، تعداد باند را از ۳ تا ۱۳ با میانگین ۷/۸۵ شاخص چندشکلی (DI) را از ۰/۵۷ تا ۰/۰۹ با میانگین ۰/۷۷ و محتوای اطلاعات چندشکلی (PIC) را زا ۰/۴۹ تا ۰/۰۹ با میانگین ۰/۷۶۴ به دست آوردن. ساینی و همکاران (۵۶) در ارزیابی mungbean با استفاده از RAPPD شاخص نشانگری (MI) را از ۰/۰/۲۸ تا ۰/۷/۲۵ و شاخص چندشکلی (DI) را ۰/۰/۹ تا ۰/۰/۹ با میانگین ۰/۰/۹ تا ۰/۴۳۷ گزارش دادند. گواتام مورتی و همکاران (۲۴) جهت ارزیابی L. *Jatropha curcas* L. با استفاده از نشانگر RAPPD، تعداد باند را از ۷ تا ۱۷ با میانگین ۱۲/۰/۹ درصد چندشکلی از

تشکیل دهنده جمیعت‌ها دارای پیچیدگی‌هایی است (۳۷). قرار گرفتن نمونه‌های جمع‌آوری شده از مناطق جغرافیایی مختلف در خوش‌های یکسان می‌تواند نشانه‌ای از تشابه ژنتیکی و یا تبادل فیزیکی بدر بین مناطق مختلف باشد که تفسیر آن بر اساس تبادلات فیزیکی نسبت به تشابهات ژنتیک توجیه‌پذیری بیشتری دارد (۱۰). با توجه به اینکه فاصله ژنتیکی بیشتر در هنگام تلاقی جمیعت‌ها یا لاین‌ها، سبب افزایش مکان‌های ژئی هتروزیگوت و بالا بردن احتمال اثر هتروزیس می‌شود (۴۶)؛ و از طرفی فاصله ژنتیکی ممکن است با صفات مطلوب مرتبط باشد درنتیجه می‌توان پس از بررسی‌های بیشتر، از آن‌ها در برنامه‌های بهترآمدی استفاده کرد (۱۰). لذا بر این اساس چون کمترین میزان تشابه مربوط به جمیعت‌های تربیچه Profit و French breakfast و Profit بوده و یشترين تنوع درون جمیعتی مربوط به جمیعت Profit بود در نتیجه می‌توان ذکر کرد که جهت هر نوع تلاقی و اصلاح گیاه دارویی تربیچه بهتر است جمیعت Profit به عنوان یکی از یابههای پدری یا مادری و یا دهنده ژن انتخاب کرد.

جمیعت‌ها وجود دارد (۵۰) و در کل هم در گیاهان خودگشن و هم دگرگشن در اکثر حالات تنوع درون جمیعت بیشتر از تنوع بین جمیعت بوده ولی این میزان تنوع در گیاهان خودگشن بیشتر از دگرگشن است.

در تحقیق حاضر نتایج تجزیه واریانس مولکولی تنوع ژنتیکی درون جمیعت‌ها ۵۹ و بیشتر از تنوع بین جمیعت‌ها ۴۱ درصد بود. وجود تنوع بالا درون جمیعت در گیاهان دیگر با استفاده از نشانگر RAPD (شباهت بیشتر گونه *M. piperita* را با گونه *M. aquatic* (۳۹) و نشانگر ISSR: شوید (۱۰)، لاله واژگون (۳۸)، مازودار و ویول (۶)، نعناع (۵۳) و مرزه (۳۲) گزارش شده است از عوامل مؤثر در توجیه تنوع بیشتر درون ارقام و جمیعت‌ها مواردی از جمله خودگشن بودن گیاه، یکساله بودن، ازدیاد با بذر، تعداد مکان‌های باندی موردنرسی، موقعیت باندی و ژنتیکی جمیعت، نوع تلاقی و اندازه جمیعت را می‌توان ذکر نمود (۴۷) بررسی تنوع ژنتیکی در جمیعت‌ها به دلیل دخالت چندین عامل از جمله پیوستگی، تلاقی خویشاوندی، مهاجرت و تفاوت‌های موجود در افراد

منابع

1. Aalami, A. and N. Karami. 2017. The Study of Genetic Diversity in Iranian Rice Cultivars using ISSR, IRAP and REMAP Markers. Journal of Crop Breeding, 8(20): 51-41.
2. Abdollahi Mandoulakani, B., Y. Piri, R. Darvishzadeh, I. Bernoosi and M. Jafari. 2011. Retroelement Insertional Polymorphism and Genetic Diversity in *Medicago sativa* Populations Revealed by IRAP and REMAP Markers. Plant molecular biology reporter, 30(2): 286-296.
3. Abdollahi Mandoulakani, B. and I. Bernousi. 2015. Genetic diversity in iranian melon populations and hybrids assessed by IRAP and REMAP markers. Journal of Agricultural Science and Technology, 17(5): 1267-1277.
4. Abdollahi Mandoulakani, B., E. Yaniv, R. Kalendar, D. Raats, H.S. Bariana, M.R. Bihamta and A.H. Schulman. 2015. Development of IRAP- and REMAP-derived SCAR markers for marker-assisted selection of the stripe rust resistance gene Yr15 derived from wild emmer wheat. Theor Appl Genet, 128(2): 211-219. 10.1007/s00122-014-2422-8
5. Agrama, H. and M. Tuinstra. 2003. Phylogenetic diversity and relationships among sorghum accessions using SSRs and RAPDs. African journal of biotechnology, 2(10): 334-340.
6. Alikhani, L., M.S. Rahmani, N. Shabanian, H. Badakhshan and A. Khadivi-Khub. 2014. Genetic variability and structure of *Quercus brantii* assessed by ISSR, IRAP and SCoT markers. Gene, 552(1): 176-183.
7. Antonius-Klemola, K., R. Kalendar and A.H. Schulman. 2006. TRIM retrotransposons occur in apple and are polymorphic between varieties but not sports. Theoretical and Applied Genetics, 112(6): 999-1008.
8. Asadkhani Mamaghani, R., S.A. Mohammadi and S. Aharizad. 2015. Transferability of barley retrotransposon primers to analyze geneticstructure in Iranian Hypericum perforatum L. populations. Turkish Journal of Botany, 39:664-672. 10.3906/bot-1405-76
9. Asghari-Mirk, A.R., S.Y. SayedMaasoumi and M.R. Bihamta. 2011. Studying of genetic diversity in some wheat cultivar using SSRs marker in dry stress condition, Sixth national congress of new idea in agriculture, Islamic azad University, Khorasan, , Article COI: AGRIDEA06_124: 1-6 pp.
10. Bahari, Z., A. Shojaeian, S. Rashidi Monfared, A. Mirshekari, K. Nasiri and M. Amiriyan. 2015. Investigation of Genetic Diversity among Some Iranian Dill (*Anethum graveolens* L.) Landraces, Using ISSR Markers. Journal of Plant Genetic Research, 2(1): 11-22.
11. Biswas, M.K., Q. Xu and X.x. Deng. 2010. Utility of RAPD, ISSR, IRAP and REMAP markers for the genetic analysis of Citrus spp. Scientia Horticulturae, 124(2): 254-261.
12. Boronnikova, S.V. and R.N. Kalendar. 2010. Using IRAP markers for analysis of genetic variability in populations of resource and rare species of plants. Russian Journal of Genetics, 46(1): 36-42. 10.1134/s1022795410010060
13. Botstein, D., R.L. White, M. Skolnick and R.W. Davis. 1980. Construction of a genetic linkage map in man using restriction fragment length polymorphisms. American journal of human genetics, 32(3): 314-322.
14. Branco, C.J., E.A. Vieira, G. Malone, M.M. Kopp, E. Malone, A. Bernardes, C.C. Mistura, F.I. Carvalho and C.A. Oliveira. 2007. IRAP and REMAP assessments of genetic similarity in rice. J Appl Genet, 48(2): 107-113.
15. Campbell, L.G. 2007. Rapid evolution in a crop-weed complex (*Raphanus* spp.). Thesis of Doctor of Philosophy, The Ohio State University, Document number: osu1166549627, 235 pp.

16. D'Onofrio, C., G. De Lorenzis, T. Giordani, L. Natali, A. Cavallini and G. Scalabrelli. 2010. Retrotransposon-based molecular markers for grapevine species and cultivars identification. *Tree Genetics & Genomes*, 6(3): 451-466.
17. Daei Hasani, B., M. Abedini, A. Hemati and S. Falahati. 2013. Radish and its medicinal properties. In third national conference on medicinal plants and sustainable agriculture, Article COI: MPSA03, 203: 1-10.
18. Dalvand, K. and A. Eftekhari. 2014. Evaluation of Cadmium Uptake by Reddish cv. Sorkhan Plant (*Raphanus sativus* L.) in Cadmium Contaminated Soils. *Scientific Journal Management System*, 37(1): 67-75.
19. Dellaporta, S.L., J. Wood and J.B. Hicks. 1983. A plant DNA minipreparation: version II. *Plant molecular biology reporter*, 1(4): 19-21.
20. Djebali, N., J.K. Scott, M. Jourdan and T. Souissi. 2009. Fungi pathogenic on wild radish (*Raphanus raphanistrum* L.) in northern Tunisia. *Phytopathologia mediterranea*, 48(2): 205-213.
21. Drikvand, R., M.R. Bihamta, G. Najafian and A. Ebrahimi. 2013. Investigation of genetic diversity among bread wheat cultivars (*Triticum aestivum* L.) using SSR markers. *Journal of Agricultural Science*, 5(1): 122-129.
22. Eivazi, A., M. Naghavi, M. Hajheidari, S. Pirseyedi, M. Ghaffari, S. Mohammadi, I. Majidi, G. Salekdeh and M. Mardi. 2008. Assessing wheat (*Triticum aestivum* L.) genetic diversity using quality traits, amplified fragment length polymorphisms, simple sequence repeats and proteome analysis. *Annals of Applied Biology*, 152(1): 81-91.
23. Fazeli-Nasab, B., A.A. Mehrabi and A. Izadi-Darbandi. 2010. Genetic diversity of wheat storage proteins and SSRs markers. *Modern Genetics*, 5(2): 81-93.
24. Gautam Murty, S., F. Patel, B. Punwar, M. Patel, A. Singh and R. Fouyat. 2013. Comparison of RAPD, ISSR and DAMD markers for genetic diversity assessment between accessions of *Jatropha curcas* L. and its related species. *Journal of Agricultural Science and Technology*, 15(5): 1007-1022.
25. Guo, Z.H., K.X. Fu, X.Q. Zhang, S.Q. Bai, Y. Fan, Y. Peng, L.K. Huang, Y.H. Yan, W. Liu and X. Ma. 2014. Molecular insights into the genetic diversity of *Hemarthria compressa* germplasm collections native to southwest China. *Molecules*, 19(12): 21541-21559.
26. Hashemi, H. and A. Safarnejad. 2010. The use of RAPD markers for assessing the genetic diversity of *Bunium persicum* (Boiss) B. FEDTSCH populations. *International Journal of Science and Nature*, 1202-208.
27. Hassani-Tesie, S.F., H. Samizadeh-Lahiji and M. Shoaei-Deilami. 2016. Assessment of Genetic Diversity Among and Within Different Types of Tobacco (*Nicotianatabacum* L.) Using IRAP and REMAPMarkers. *Journal of Crop Breeding*, 7(16): 1-9.
28. Jaccard, P. 1912. The distribution of the flora in the alpine zone. *New phytologist*, 11(2): 37-50.
29. Jamalirad, S., S. Mohammadi and M. Toorchi. 2012. Assessing genetic diversity in a set of wheat (*Triticum aestivum*) genotypes using microsatellite markers to improve the yellow rust resistant breeding programs. *African Journal of Agricultural Research*, 7(48): 6447-6455.
30. Kalendar, R., T. Grob, M. Regina, A. Suoniemi and A. Schulman. 1999. IRAP and REMAP: two new retrotransposon-based DNA fingerprinting techniques. *Theoretical and Applied Genetics*, 98(5): 704-711.
31. Kalendar, R. and A.H. Schulman. 2006. IRAP and REMAP for Retrotransposon Based on Genotyping and Fingerprinting. *National Protocols*, 1(5): 2478-2484.
32. Kameli, M., S. Hesamzadeh and M. Ebadi. 2013. Assessment of genetic diversity on populations of three satureja species in Iran using ISSR markers. *Annals of Biological Research*, 4(3): 64-72.
33. Khaled, A., M. Motawea and A. Said. 2015. Identification of ISSR and RAPD markers linked to yield traits in bread wheat under normal and drought conditions. *Journal of Genetic Engineering and Biotechnology*, 13(2): 243-252.
34. Lewontin, R.C. 1972. The apportionment of human diversity, pp. 381-398, *Evolutionary biology*. Springer, 381-398 pp. https://doi.org/10.1007/978-1-4684-9063-3_14.
35. Manninen, O., R. Kalendar, J. Robinson and A.H. Schulman. 2000. Application of BARE-1 retrotransposon markers to the mapping of a major resistance gene for net blotch in barley. *Mol Gen Mikrobiol Virusol Genet*, 264325-334.
36. Mir-Drikvand, R., A. Khyrolahi, A. Ebrahimi and M. Rezvani. 2015. Study of Genetic Diversity Among Some Rainfed Bread and Durum Wheat Genotypes, Using SSR Markers. *Journal of Plant Genetic Research*, 2(1): 35-44.
37. Mohammadi, S. and B. Prasanna. 2003. Analysis of genetic diversity in crop plants—salient statistical tools and considerations. *Crop Science*, 43(4): 1235-1248.
38. Momeni, H., B. Shiran, M. Khodambashi and K. Cheghamirzaei. 2013. Studying of genetic diversity in some population of *Fritillaria imperialis* L. in Iranian Zagros region using ISSR marker and morphological traits. *Iranian journal of horticulture*, 44(1): 61-72.
39. Momeni, S., B. Shiran and K. Razmjoo. 2006. Genetic variation in Iranian mints on the bases of RAPD analysis. *Pakistan Journal of Biological Sciences*, 9(10): 1898-1904.
40. Monden, Y., K. Yamaguchi and M. Tahara. 2014. Application of iPBS in high-throughput sequencing for the development of retrotransposon-based molecular markers. *Current Plant Biology*, 140-44. 10.1016/j.cpb.2014.09.001
41. Monden, Y., T. Hara, Y. Okada, O. Jahana, A. Kobayashi, H. Tabuchi, S. Onaga and M. Tahara. 2015. Construction of a linkage map based on retrotransposon insertion polymorphisms in sweetpotato via high-throughput sequencing. *Breeding science*, 65(2): 145-153.
42. Nasri, S., B.A. Mandoulakani, R. Darvishzadeh and I. Bernousi. 2013. Retrotransposon insertional polymorphism in Iranian bread wheat cultivars and breeding lines revealed by IRAP and REMAP markers. *Biochem Genet*, 51(11-12): 927-943.

43. Nei, M. 1973. Analysis of gene diversity in subdivided populations. *Proceedings of the National Academy of Sciences*, 70(12): 3321-3323.
44. Nei, M. and W.H. Li. 1979. Mathematical model for studying genetic variation in terms of restriction endonucleases. *Proceedings of the National Academy of Sciences*, 76(10): 5269-5273.
45. Nguyen, T.X., S.I. Lee, R. Rai, N.S. Kim and J.H. Kim. 2016. Ribosomal DNA locus variation and REMAP analysis of the diploid and triploid complexes of *Lilium tigrinum* Ker-Gawler. *Genome*, 59(8): 551-564. <https://doi.org/10.1139/gen-2016-0011>.
46. Olfati, J.A., H. Samizade, G.A. Peyvast, B. Rabiei and S.A. Khodaparast. 2012. Relationship between genetic distance and heterosis in cucumber. *International Journal of plant breeding*, 621-26.
47. Pejmanmehr, M., M.A. Hasani, S.M. Fakhr-Tabatabai and J. Hadian. 2009. Genetic diversity and segregating of populations Zyrh English (*Bunium persicum* (Boiss)) using molecular markers RAPD. *Journal of Environmental Sciences*, 7(2): 63-76.
48. Petrovi ová, L., Ž. Balážová, Z. Gálová, M. Wójcik-Jagla and M. Rapacz. 2014. RAPD Analysis of the Genetic Polymorphism in the Collection of Rye Cultivars. *World Academy of Science, Engineering and Technology*, *International Journal of Biological, Biomolecular, Agricultural, Food and Biotechnological Engineering*, 8(7): 664-668.
49. Prasad, M., R. Varshney, J. Roy, H. Balyan and P. Gupta. 2000. The use of microsatellites for detecting DNA polymorphism, genotype identification and genetic diversity in wheat. *Theoretical and Applied Genetics*, 100: 584-592.
50. Rao, V.R. and T. Hodgkin. 2002. Genetic diversity and conservation and utilization of plant genetic resources. *Plant cell, tissue and organ culture*, 68(1): 1-19.
51. Rauf, S., J. Teixeira da Silva, A.A. Khan and A. Naveed. 2010. Consequences of plant breeding on genetic diversity. *International Journal of plant breeding*, 4(1): 1-21.
52. Roder, M.S., J. Plaschke, S.U. König, A. Börner, M.E. Sorrells, S.D. Tanksley and M.W. Gale. 1995. Abundance, variability and chromosomal location of microsatellites in wheat. *Molecular and General Genetics MG*, 246(3): 327-333.
53. Rodrigues, V.F., R.R. Oliveira and M.R. Vega. 2014. A new isocoumarin from *Cajanus cajan* (Fabaceae). *Nat Prod Commun*, 9(4): 493-494.
54. Rolf, F.J. 2002. NTSYS-Pc: Reference Manual. Exeter publishing Ltd. New York, NII Article ID (NAID): 10016098383.
55. Sabot, F. and A.H. Schulman. 2007. Template switching can create complex LTR retrotransposon insertions in Triticeae genomes. *BMC Genomics*, 8(1): 247.
56. Saini, M., S. Singh, Z. Hussain and A. Yadav. 2010. RAPD analysis in mungbean [*Vigna radiata* (L.) Wilczek]: I: Assessment of genetic diversity, *Indian Journal of Biotechnology*, 9(2): 137-146.
57. Singh, P. and J. Singh. 2013. Medicinal and therapeutic utilities of *Raphanus sativus*. *Int J Plant Anim Environ Sci*, 3103-105.
58. Smýkal, P., N. Ba ová-Kerteszová, R. Kalendar, J. Corander, A.H. Schulman and M. Pavelek. 2011. Genetic diversity of cultivated flax (*Linum usitatissimum* L.) germplasm assessed by retrotransposon-based markers. *Theoretical and Applied Genetics*, 122(7): 1385-1397.
59. Solouki, M., S. Hoseini, B. Siahzar and A. Tavassoli. 2012. Genetic diversity in dill (*Anethum graveolens* L.) populations on the basis of morphological traits and molecular markers. *African journal of biotechnology*, 11(15): 3649.
60. Suresh, S., J.W. Chung, J.S. Sung, G.T. Cho, J.H. Park, M.S. Yoon, C.K. Kim and H.J. Baek. 2013. Analysis of genetic diversity and population structure of 135 dill (*Anethum graveolens* L.) accessions using RAPD markers. *Genetic resources and crop evolution*, 60(3): 893-903.
61. Teo, C.H., S.H. Tan, C.L. Ho, Q.Z. Faridah, Y.R. Othman, J.S. Heslop-Harrison, R. Kalendar and A.H. Schulman. 2005. Genome constitution and classification using retrotransposon-based markers in the orphan crop banana. *Journal of Plant Biology*, 48(1): 96-105.
62. Venturi, S., L. Dondini, P. Donini and S. Sansavini. 2006. Retrotransposon characterisation and fingerprinting of apple clones by S-SAP markers. *Theoretical and Applied Genetics*, 112(3): 440-444.
63. Vicent, C.M., R. Kalendar and A.H. Schulman. 2005. Variability, recombination and mosaic evolution of the barley BARE-1 retrotransposon. *J Mol Evol*, 61275-291.
64. Vukich, M., A.H. Schulman, T. Giordani, L. Natali, R. Kalendar and A. Cavallini. 2009. Genetic variability in sunflower (*Helianthus annuus* L.) and in the *Helianthus* genus as assessed by retrotransposon-based molecular markers. *Theoretical and Applied Genetics*, 119(6): 1027-1038.
65. Yuying, S., D. Xiajun, W. Fei, C. Binhu, G. Zhihong and Z. Zhen. 2011. Analysis of genetic diversity in Japanese apricot (*Prunus mume* Sieb. et Zucc.) based on REMAP and IRAP molecular markers. *Scientia Horticulturae*, 13250-58. [10.1016/j.scienta.2011.10.005](https://doi.org/10.1016/j.scienta.2011.10.005)
66. Zoghlami, N., I. Chrita, B. Bouamama, M. Gargouri, H. Zemni, A. Ghorbel and A. Mliki. 2007. Molecular based assessment of genetic diversity within Barbary fig (*Opuntia ficus indica* (L.) Mill.) in Tunisia. *Scientia Horticulturae*, 113(2): 134-141.

Evaluation of the Ability of Retrotransposon Markers to Study the Genetic Diversity in some Populations of Radish (*Raphanus Sativus*)

Mostafa Tabatabaei¹, Fatemeh Haddadi², Hossein Kamalaldini² and Bahman Fazeli-Nasab³

1 and 2- Graduated M.Sc. Student and Assistant Professor, Department of Biology, Faculty of Sciences, University of Zabol, Zabol, Iran

3- Lecturer, Research Department of Agronomy and Plant breeding, Agricultural Research Institute, University of Zabol, (Corresponding author: Bfazeli@uoz.ac.ir)

Received: August 12, 2017 Accepted: April 3, 2018

Abstract

Radish belonging to the *Brassicaceae* family, contains some compounds such as cineol, malvin Chloride, Saponin, Sulforaphane and Raphanin and has many therapeutic properties. In this study, IRAP retrotransposon marker was used for evaluation of genetic diversity in seven commercial and native populations of Radish herb. The least number of bands (1) were produced by LTR2 & LTR15 (primer combinations) and the highest number, (16) were produced by LTR23 primer. The mean number of bands in all sites was 6.39. the most diversity index (0.41) was found for Sukkula primer and the least diversity index (0.18) was related to LTR2-LTR15 primer and also the mean diversity index was 0.28. The highest marker index (4.1) was related to the LTR3 primer and the least marker index (0.18) was related to the LTR15 and LTR2 primer combination. The most number of effective bands, the Shanno diversity index and the Nei diversity index were 1.82, 0.64 and 0.45, respectively and all belonged to Sukkula primer. The least number of effective bands, the Shanno diversity index and the Nei diversity index were 1.18, 0.27 and 0.15, respectively belonged to the rtdk primer. Among radish populations, the most percentage of polymorphic location, effective band, the Shanno diversity index and the Nei diversity index were 46.85, 1.305, 0.17 and 0.26, respectively. Molecular variance analysis among and between populations showed that 59% of the total genetic diversity was among populations. The results of this study showed that the population of Profit could be used as a parent or maternal parent or gene selection provider in Iran's radish breeding, since it showed the most polymorphism, the Shanno diversity index and the Nei diversity index and number of effective bands.

Keywords: Genetic Diversity, Genetic similarity, IRAP, Radish